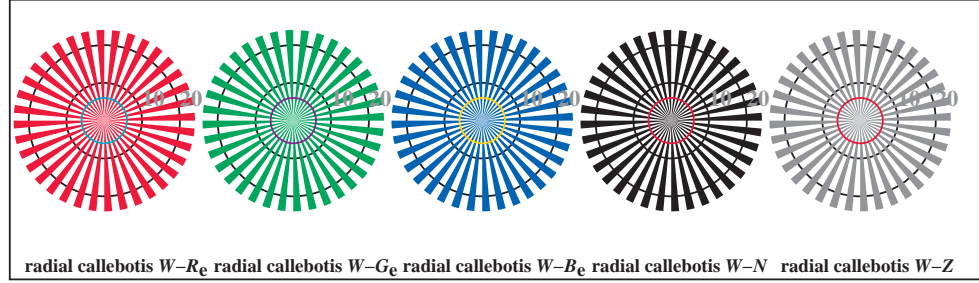


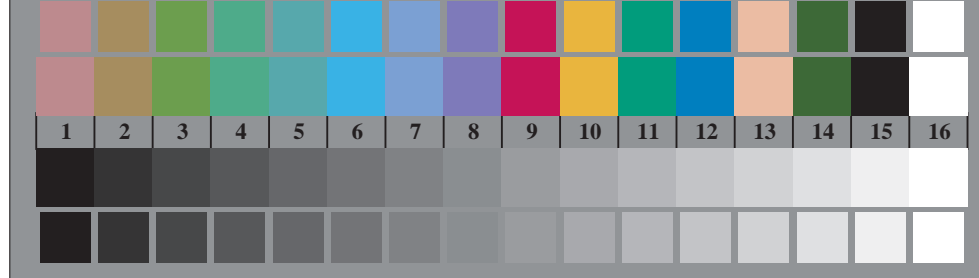


TF830-3, Fig. D1We: le motif fleuri, 14 CIE test couleurs et 2 + 16 gris étapes (sf); PS 4 colorimage

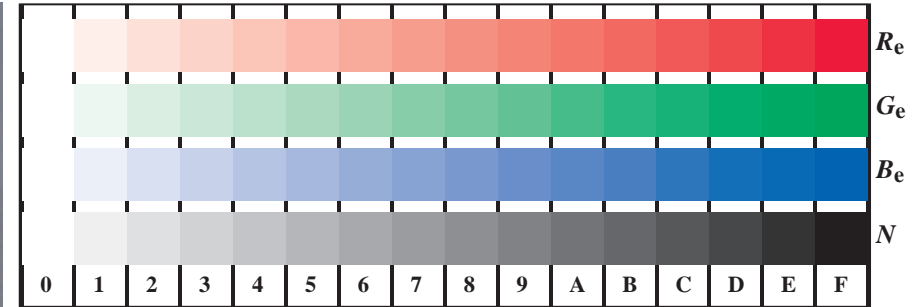


radial callebotis $W-R_e$ radial callebotis $W-G_e$ radial callebotis $W-B_e$ radial callebotis $W-N$ radial callebotis $W-Z$

TF830-5, Fig. D2We: radial callebotis $W-R_e$; $W-G_e$; $W-B_e$; $W-N$; PS operator $rgb \rightarrow rgb_e$ setrgbcolor



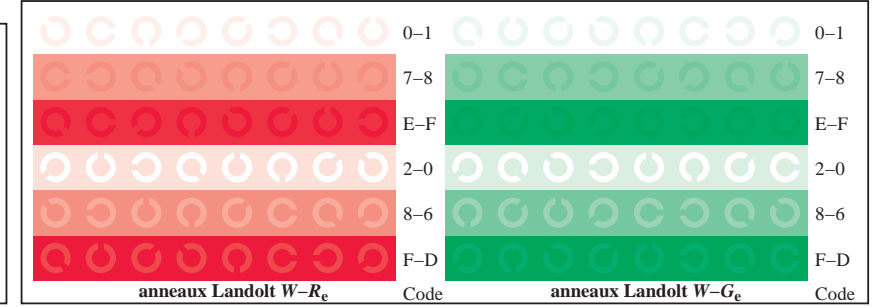
TF830-7, Fig. D3We: 14 CIE test couleurs et 2 + 16 gris étapes (sf); $rgb/cm\gamma 0 \rightarrow rgb_e$ setrgbcolor



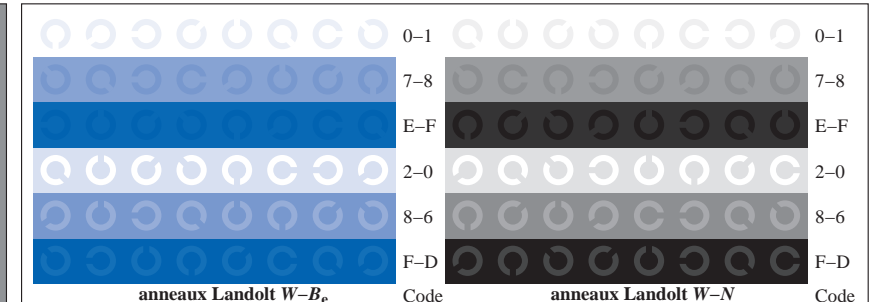
TF831-1, Fig. D4We: 16 équidistants étapes $W-R_e$; $W-G_e$; $W-B_e$; $W-N$; $rgb/cm\gamma 0 \rightarrow rgb_e$ setrgbcolor

$+-.:$	Q	O	C	C	C	$lmno$	C	O	C	O	$pqrs$	O	O	O	$tuvw$	O	O	O
$xyz;$	O	O	O	C	C	$hijk$	O	C	O	C	$lmno$	O	O	O	$lmno$	O	O	O
$tuvw$	O	O	O	O	C	$defg$	O	O	O	O	$hijk$	O	O	O	$hijk$	O	O	O
$pqrs$	O	O	O	O	O	$!abc$	O	O	O	O	$+-.:$	O	O	O	$+-.:$	O	O	O
$lmno$	O	O	O	O	O	$xyz;$	O	O	O	O	$xyz;$	O	O	O	$xyz;$	O	O	O
$hijk$	C	C	C	C	C	$tuvw$	O	O	O	O	$defg$	O	O	O	$defg$	O	O	O
$defg$	O	O	O	O	O	$!abc$	O	O	O	O	$!abc$	O	O	O	$!abc$	O	O	O
$!abc$	O	O	O	O	O	10	N	R_e	G_e	B_e	Z	6	N	R_e	G_e	B_e	Z	N $R_e G_e B_e Z$
						8	N	R_e	G_e	B_e	Z							4 N $R_e G_e B_e Z$

TF831-3, Fig. D5We: code et Landolt anneau N ; R_e ; G_e ; B_e ; Z ; PS operator $rgb \rightarrow rgb_e$ setrgbcolor



TF831-5, Fig. D6We: anneaux Landolt $W-R_e$; $W-G_e$; PS operator $rgb \rightarrow rgb_e$ setrgbcolor



TF831-7, Fig. D7We: anneaux Landolt $W-B_e$; $W-N$; PS operator $rgb \rightarrow rgb_e$ setrgbcolor